

---

---

**МЕХАНИКА МАШИН**

---

---

УДК 534.13,533.6.013.42

**АЭРОУПРУГИЕ КОЛЕБАНИЯ ТОНКОЙ ЛЕНТЫ  
В ЛАМИНАРНОМ ВОЗДУШНОМ ПОТОКЕ**© 2021 г. А. А. Афанасьева<sup>1,2</sup>, А. М. Гуськов<sup>1,2</sup>, Г. Я. Пановко<sup>1,2,\*</sup><sup>1</sup> *Институт машиноведения им. А.А. Благонравова РАН, Москва, Россия*<sup>2</sup> *Московский государственный технический университет им. Н.Э. Баумана, Москва, Россия**\*e-mail: gpanovko@yandex.ru*

Поступила в редакцию 23.04.2021 г.

После доработки 01.06.2021 г.

Принята к публикации 24.06.2021 г.

В статье исследуются нелинейные аэроупругие колебания тонкой плоской ленты в ламинарном воздушном потоке. В качестве расчетной схемы принимается длинная плоская мембрана с двумя струнами, закрепленными по ее длинным краям, к которым приложены растягивающие усилия. Воздушный поток направлен вдоль плоскости мембраны. Исследуются поперечно-крутильные колебания, возникающие при действии аэродинамических сил. Получены связанные дифференциальные уравнения в безразмерной форме, в которых изгибная и крутильная жесткости системы обеспечиваются усилиями натяжения струн и крутящего момента от подъемной силы. Решение задачи представлено в соответствии с методом Галеркина. Выполнен анализ устойчивости и выявлены: бифуркация Пуанкаре–Андропова–Хопфа (появление флаттера ленты в потоке воздуха), бифуркация Эйлера (дивергенция ленты). Определена зависимость критической скорости и частоты колебаний при возникновении флаттера в зависимости от силы натяжения ленты. Исследовано закритическое поведение системы и установление автоколебательного режима, для которого определена его частота и амплитуда колебаний.

*Ключевые слова:* тонкая лента, мембрана, струна, изгибно-крутильные колебания, аэроупругие колебания, флаттер, автоколебания

DOI: 10.31857/S0235711921050023

В современных технических системах для реализации подъемной и/или движущей силы широко применяются воздухонепроницаемые тонкостенные элементы с практически нулевой изгибной жесткостью (ленты, мембраны, обшивки корпусов, паруса), находящиеся под действием воздушного потока [1–4]. При определенных соотношениях скорости набегающего потока и условий закрепления в таких элементах могут возникать аэроупругие колебания по типу флаттера [1–3, 5, 6]. Аналогичные явления могут возникать и в других тонкостенных конструкциях.

В одних случаях эти колебания являются крайне нежелательным и, даже, весьма опасным явлением, приводящим к потере несущей способности и прочности конструкции [2, 6]. В других случаях возбуждение автоколебаний можно использовать в технических устройствах, например, для генерации электрической энергии, так как это реализовано в системе “Windbelt” [7–11]. В устройствах типа “Windbelt” колеблющаяся лента с постоянными магнитами, находясь в потоке воздуха, периодически взаимодействует с неподвижными катушкам индуктивности, в которых генерируется электрический ток [7].

Вопросам динамического поведения тонких элементов с нулевой изгибной жесткостью в воздушном потоке и выявлению пороговых (критических) значений скорости воздушного потока, при котором возникают колебания (или дивергенция, приводящая к статическому “выворачиванию”), посвящена обширная учебная и специальная литература, например [1, 2, 4–6]. Вместе с тем, вопросы, связанные с исследованиями колебаний тонкой ленты в зависимости от ее натяжения и скорости набегающего потока, изучены недостаточно подробно. Известные расчетные модели основаны на различных упрощающих допущениях, ограничивающие исследование закритического поведения ленты [12–14]. В работах [15, 16] изгибная жесткость тонкой ленты определяется ее продольным натяжением, а крутильная жесткость учитывается модулем сдвига, значение которого не определено и требует дополнительной верификации или уточнения расчетной модели.

В настоящей статье мы попытались исправить эту неопределенность, связанную с необходимостью учета крутильной жесткости через заданные усилия натяжения ленты и крутящего момента от подъемной силы, за счет разработки новой модели, описывающей совместные изгибно-крутильные колебания. Таким образом, целью настоящей статьи является моделирование и анализ динамики самовозбуждающихся изгибно-крутильных колебаний ленты, находящейся в воздушном потоке.

**Постановка задачи.** Тонкая лента с погонной массой  $m$ , длиной  $l$  и шириной  $a$  нагружена растягивающими усилиями  $T$  (рис. 1а). Распределение усилий  $T$  по концевым сечениям ленты определяется условиями их приложения, которые могут иметь произвольный характер (в общем случае это распределение трудно идентифицируется). На ленту действует воздушный поток с постоянной скоростью  $U$ , направленный параллельно плоскости ленты, и аэродинамическая подъемная сила.

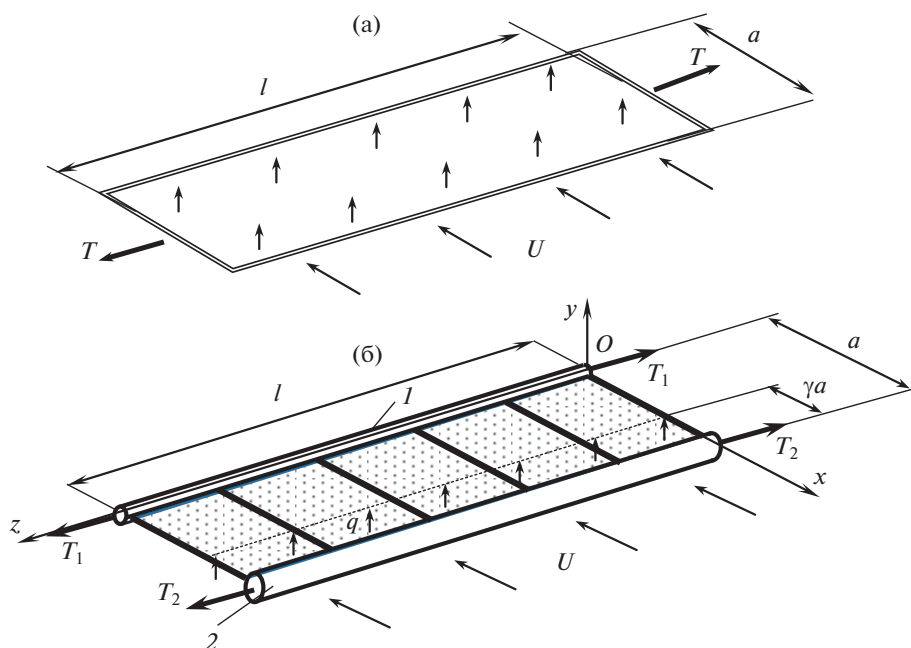


Рис. 1. Лента в воздушном потоке – (а) и ее расчетная схема – (б).

Задача сводится к определению зависимости критической скорости потока воздуха  $U_{crit}$  от усилия натяжения  $T$ , от распределения массы по ширине ленты, а также от геометрии поперечного сечения (положения центра давления) и анализу периодических движений ленты в закритической области (определению частот и распределения амплитуд ее колебаний). Существенной особенностью задачи является необходимость учета изгибной и крутильной жесткости ленты через заданные усилия ее натяжения.

**Расчетная схема.** Лента длиной  $l$  и шириной  $a$  моделируется плоской тонкой мембраной с двумя параллельными струнами (рис. 1б, позиции 1 и 2), жестко закрепленными по краям мембраны. Предполагается, что  $l > a$ . Для общности задачи и расширения возможностей анализа будем считать, что струны имеют различные погонные массы  $m_1, m_2$ , причем  $m_1 + m_2 = m$ .

Каждая из струн нагружена растягивающими усилиями  $T_1, T_2$ , причем  $T_1 + T_2 = T$ ,  $T_1 = \beta T$ , где  $\beta$  – параметр, характеризующий точку приложения растягивающего усилия по ширине ленты. На мембрану действует распределенная подъемная сила  $q$ , вызванная набегающим воздушным потоком, которая приведена к линии центров давления. Предложенная расчетная схема отражает возникновение изгибной и крутильной жесткости ленты при действии растягивающих усилий, без ограничений на их распределение по концевым сечениям ленты.

Введем абсолютную систему отсчета  $Oxuz$  с началом в точке  $O$ , совпадающей с одним из концов струны 1: ось  $Oz$  совпадает с осью струны 1, ось  $Ox$  проходит через одноименные концы струн, ось  $Oy$  перпендикулярна плоскости  $xz$  (рис. 1б).

Подъемную силу, действующую на ленту, распределим по обеим струнам –  $q_1$  и  $q_2$  (индексы соответствуют номеру струны), причем  $q_1 + q_2 = q$ . На рис. 2 показано произвольное сечение принятой расчетной схемы ленты, где штриховыми линиями показано возможное перемещение струн 1 и 2. Центр давления подъемной силы в поперечном сечении полотна расположен на расстоянии  $\gamma a$  от правого края (рис. 2, точка  $P$ ). Таким образом,  $q_1 = \gamma q$ ,  $q_2 = (1 - \gamma)q$ . Случай  $\gamma = 0$  соответствует приложению распределенной нагрузки к струне с номером 2, на краю со стороны набегающего потока. Заметим, что для прямоугольного аэродинамического профиля, находящегося в дозвуковом воздушном потоке известно точное положение центра давления подъемной силы:  $\gamma = 1/4$  [2, 17].

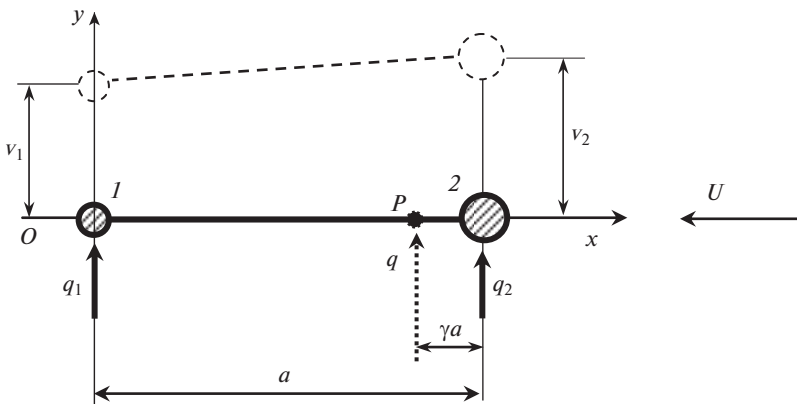


Рис. 2. Поперечное сечение расчетной схемы ленты.

**Уравнения движения.** Уравнения поперечных колебаний относительно прогибов  $v_i(t, z)$ ,  $i = 1, 2$  двух граничных струн в направлении вертикальной оси  $Oy$ , растянутых усилиями  $T_1, T_2$  и нагруженных поперечными распределенными силами  $q_1, q_2$  запишем в виде [19, 20]

$$m_i \ddot{v}_i(t, z) - T_i v_i''(t, z) = q_i, \quad i = 1, 2, \quad (1)$$

где  $\ddot{v}_i \triangleq \frac{\partial^2 v_i(t, z)}{\partial t^2}$ ,  $v_i'' \triangleq \frac{\partial^2 v_i(t, z)}{\partial z^2}$ ,  $i = 1, 2$ ;  $i$  – номер струны.

**Переход к эквивалентной струне.** Введем в рассмотрение приведенную (эквивалентную, оснащенную) струну, расположенную в барицентре обеих струн вдоль оси  $Ox$  ленты на расстоянии  $\alpha a$  от правого края и на расстоянии  $(1 - \alpha)a$  от левого края (рис. 3, точка  $M$ ). Заметим, что барицентр является общим центром масс поперечных сечений обеих струн.

Связь между основными характеристиками компонент эквивалентной струны выражается через безразмерные параметры  $\alpha, \beta, \gamma$ .

$$\begin{aligned} m &= m_1 + m_2, & m_1 &= \alpha m, & m_2 &= (1 - \alpha) m, \\ T &= T_1 + T_2, & T_1 &= \beta T, & T_2 &= (1 - \beta) T, \\ q &= q_1 + q_2, & q_1 &= \gamma q, & q_2 &= (1 - \gamma) q, & \gamma &= 1/4. \end{aligned} \quad (2)$$

Прогиб  $v$  эквивалентной струны вдоль оси  $Oy$  и угол поворота  $\vartheta$  вокруг оси  $Oz$  определяются через прогибы двух граничных струн  $v_1, v_2$

$$\begin{aligned} v &= \alpha v_1 + (1 - \alpha) v_2, & \sin(\vartheta) &= (v_2 - v_1)/a \Rightarrow \\ \Rightarrow v_1 &= v - (1 - \alpha) a \sin(\vartheta), & v_2 &= v + \alpha a \sin(\vartheta). \end{aligned} \quad (3)$$

В дальнейшем будем считать угол поворота  $\vartheta$  достаточно малым, т.е.  $\sin(\vartheta) \approx \vartheta$ ; тогда из (3)

$$v_1 = v - (1 - \alpha) a \vartheta, \quad v_2 = v + \alpha a \vartheta. \quad (4)$$

Подставим соотношения (4) в уравнения (1)

$$\begin{cases} \alpha m (\ddot{v} - (1 - \alpha) a \ddot{\vartheta}) - \beta T (v'' - (1 - \alpha) a \vartheta'') = \gamma q, \\ (1 - \alpha) m (\ddot{v} + \alpha a \ddot{\vartheta}) - (1 - \beta) T (v'' + \alpha a \vartheta'') = (1 - \gamma) q. \end{cases} \quad (5)$$

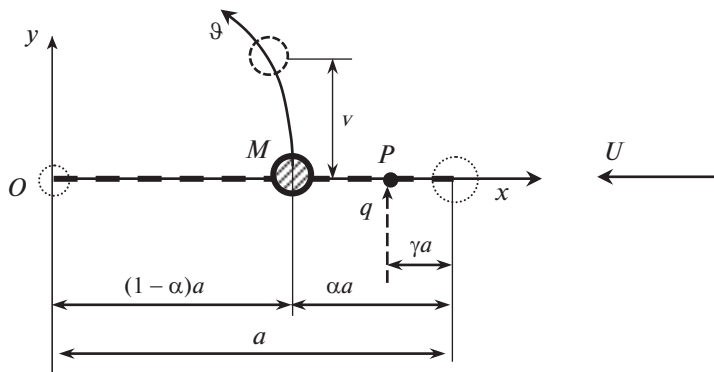


Рис. 3. Схема сечения эквивалентной струны.

Из уравнений (5) находятся выражения для линейного и углового ускорения элемента эквивалентной струны

$$\begin{aligned} \dot{v} &= \frac{T}{m} [v'' + (\alpha - \beta) a\vartheta''] + \frac{q}{m}, \\ \ddot{\vartheta} &= \frac{T}{am} \left[ \frac{\alpha - \beta}{\alpha(1 - \alpha)} v'' + \frac{(1 - \alpha)\beta + \alpha(\alpha - \beta)}{\alpha(1 - \alpha)} a\vartheta'' \right] + \frac{q}{am} \frac{\alpha - \gamma}{\alpha(1 - \alpha)}. \end{aligned} \quad (6)$$

Первое уравнение (6) представляет собой уравнение поперечных колебаний эквивалентной струны

$$m\dot{v} = T [v'' + (\alpha - \beta) a\vartheta''] + q. \quad (7)$$

Умножая второе уравнение (6) на момент инерции вращения  $\alpha(1 - \alpha) ma^2$  вокруг оси  $Oz$ , получим уравнение крутильных колебаний эквивалентной струны

$$\alpha(1 - \alpha) ma^2 \ddot{\vartheta} = aT [(\alpha - \beta) v'' + ((1 - \alpha)\beta + \alpha(\alpha - \beta)) a\vartheta''] + (\alpha - \gamma) aq. \quad (8)$$

Уравнения (7), (8) показывают, что поперечные и крутильные колебания связаны друг с другом и эта связь зависит от распределения масс – параметра  $\alpha$ , распределения усилий по ширине ленты – параметра  $\beta$  и от геометрии аэродинамического профиля – параметра  $\gamma$ .

В зависимости от соотношений параметров  $\alpha$ ,  $\beta$ ,  $\gamma$  можно выделить три характерных модельных ситуации для ленты прямоугольного сечения ( $\gamma = 1/4$ ): 1) случай симметричного распределения масс и усилий:  $\alpha = \beta = 1/2$ ; 2) дальняя по потоку кромка ленты (струна 1) более натянута:  $\alpha = 1/2$ ,  $\beta > 1/2$ ; 3) передняя по потоку кромка ленты (струна 2) более натянута:  $\alpha = 1/2$ ,  $\beta < 1/2$ .

В общем случае распределенная нагрузка  $q$  зависит от динамического угла атаки  $\vartheta_{\text{dyn}}$  и имеет следующий вид [1, 2]

$$q = \frac{\rho U^2}{2} a C_f (\vartheta_{\text{dyn}}), \quad (9)$$

где  $\rho U^2/2$  – скоростной напор и  $\vartheta_{\text{dyn}}$  – динамический угол атаки,  $\rho$  – плотность воздуха,  $C$  – безразмерная константа. Динамический угол атаки в соответствии с [1] определяется как

$$\vartheta_{\text{dyn}} = \vartheta - \frac{\dot{v} + (\alpha - \gamma) a\dot{\vartheta}}{U}. \quad (10)$$

При этом выражение  $\dot{v} + (\alpha - \gamma) a\dot{\vartheta}$  является поперечной скоростью центра давления. Зависимость  $f(\vartheta_{\text{dyn}})$  определяется экспериментально и часто ее принимают в виде кубического полинома [1–3]

$$f(\vartheta_{\text{dyn}}) = \vartheta_{\text{dyn}} - \varepsilon \frac{\vartheta_{\text{dyn}}^3}{3!}. \quad (11)$$

Величины  $\varepsilon$ ,  $\gamma$  являются экспериментальными константами, которые зависят от формы обтекаемого профиля.

**Переход к безразмерным переменным.** Введем следующие масштабы

$$t = T_* \tau, \quad z = l \zeta, \quad v = a \xi, \quad \dot{v} \triangleq \frac{\partial r}{\partial \tau}, \quad r' \triangleq \frac{\partial r}{\partial \zeta}, \quad (12)$$

где  $r$  – переменные задачи. После подстановки (12) в уравнения (6) получаем

$$\begin{aligned}\xi &= \frac{T_*^2 T}{l^2 m} [\xi'' + (\alpha - \beta) \vartheta''] + \frac{T_*^2 q}{am}, \\ \ddot{\vartheta} &= \frac{T_*^2 T}{l^2 m} \left[ \frac{\alpha - \beta}{\alpha(1 - \alpha)} \xi'' + \frac{(1 - \alpha)\beta + \alpha(\alpha - \beta)}{\alpha(1 - \alpha)} \vartheta'' \right] + \frac{T_*^2 q}{am} \frac{\alpha - \gamma}{\alpha(1 - \alpha)}.\end{aligned}\quad (13)$$

Масштаб по времени определим из равенства единице множителей перед первыми слагаемыми в (13)

$$\frac{T_*^2 T}{l^2 m} = 1 \Rightarrow T_* = l \sqrt{\frac{m}{T}}. \quad (14)$$

Тогда безразмерная аэродинамическая нагрузка  $\psi \sim q$  с учетом (13)

$$\begin{aligned}\psi &= \frac{T_*^2 q}{am} = \frac{l^2 \rho U^2}{aT} a C_f (\vartheta_{\text{dyn}}) = \frac{N^2}{2} C_f (\vartheta_{\text{dyn}}), \\ \vartheta_{\text{dyn}} &= \vartheta - \frac{\dot{\vartheta} + (\alpha - \gamma) a \dot{\vartheta}}{U} = \vartheta - \frac{A}{N} [\dot{\xi} + (\alpha - \gamma) \dot{\vartheta}], \\ A &= a \sqrt{\frac{\rho}{m}}, \quad N = Ul \sqrt{\frac{\rho}{T}}.\end{aligned}\quad (15)$$

В этих выражениях параметр  $N$  представляет собой безразмерную скорость набегающего потока, параметр  $A$  – отношение массы воздуха, увлекаемой лентой, к массе ленты.

Анализируя безразмерные параметры (14), (15), можно выявить влияние сил натяжения ленты на период осцилляций  $T_{\text{crit}}$  и скорость набегающего потока воздуха при достижении критического состояния  $U_{\text{crit}}$  – бифуркации Пуанкаре–Андропова–Хопфа

$$T_{\text{crit}} \sim \frac{1}{\sqrt{T}}, \quad U_{\text{crit}} \sim \sqrt{T}. \quad (16)$$

С учетом безразмерных параметров (15) уравнения изгибных и крутильных колебаний эквивалентной струны принимают вид

$$\begin{aligned}\xi &= \xi'' + (\alpha - \beta) \vartheta'' + \psi, \\ \ddot{\vartheta} &= d_1 \xi'' + d_2 \vartheta'' + d_3 \psi,\end{aligned}\quad (17)$$

где коэффициенты  $d_t$ ,  $t = 1, 2, 3$  зависят от конструкции гибкой ленты (устройства эквивалентной струны) – параметров  $\alpha, \beta, \gamma$

$$d_1 = \frac{\alpha - \beta}{\alpha(1 - \alpha)}, \quad d_2 = \frac{(1 - \alpha)\beta + \alpha(\alpha - \beta)}{\alpha(1 - \alpha)}, \quad d_3 = \frac{\alpha - \gamma}{\alpha(1 - \alpha)}. \quad (18)$$

Уравнения (7), (8) или (17), (18) показывают, что поперечные и крутильные колебания связаны друг с другом и эта связь зависит от распределения масс – параметра  $\alpha$ , распределения усилий по ширине ленты – параметра  $\beta$  и от геометрии аэродинамического профиля – параметра  $\gamma$ . В частности, если точка приложения результирующего усилия натяжения – центр жесткости, совпадает центром масс поперечного сечения

( $\beta = \alpha$ ), то связь крутильных и изгибных колебаний осуществляется только аэродинамическими силами

$$\begin{aligned} \xi &= \xi'' + \psi, & \vartheta &= \vartheta'' + d_3\psi, \\ d_3 &= \frac{\alpha - \gamma}{\alpha(1 - \alpha)}, & \psi &= \frac{N^2}{2} Cf(\vartheta_{\text{dyn}}), & \vartheta_{\text{dyn}} &= \vartheta - \frac{A}{N}[\xi + (\alpha - \gamma)\vartheta]. \end{aligned} \quad (19)$$

Если центр масс совпадает с центром давления,  $\alpha = \gamma$ , то уравнения динамики (17), (18) принимают вид

$$\begin{aligned} \xi &= \xi'' + (\alpha - \beta)\vartheta'' + \psi, & \ddot{\vartheta} &= d_1\xi'' + d_2\vartheta'', \\ d_1 &= \frac{\alpha - \beta}{\alpha(1 - \alpha)}, & d_2 &= \frac{(1 - \alpha)\beta + \alpha(\alpha - \beta)}{\alpha(1 - \alpha)}, \\ \psi &= \frac{N^2}{2} Cf(\vartheta_{\text{dyn}}), & \vartheta_{\text{dyn}} &= \vartheta - \frac{A}{N}\xi \end{aligned} \quad (20)$$

и динамический угол атаки  $\vartheta_{\text{dyn}}$  не зависит от  $\dot{\vartheta}$ .

Краевые условия соответствуют условиям жесткого закрепления концевых сечений ленты (эквивалентной струны) при  $z = 0$ ,  $z = l$

$$\begin{aligned} \xi(\tau, \zeta): & \quad \xi(\tau, 0) = \xi(\tau, 1) = 0, \\ \vartheta(\tau, \zeta): & \quad \vartheta(\tau, 0) = \vartheta(\tau, 1) = 0. \end{aligned} \quad (21)$$

**Уравнения в вариациях около недеформированного состояния.** Положим

$$X(\tau, \zeta) \triangleq \delta\xi(\tau, \zeta), \quad Y(\tau, \zeta) \triangleq \delta\vartheta(\tau, \zeta). \quad (22)$$

Из уравнений (17), (18) получаем уравнения в вариациях

$$\begin{aligned} \ddot{X} &= X'' + (\alpha - \beta)Y'' + \frac{CN^2}{2} \left\{ Y - \frac{A}{N}[\dot{X} + (\alpha - \gamma)\dot{Y}] \right\}, \\ \ddot{Y} &= d_1X'' + d_2Y'' + d_3 \frac{CN^2}{2} \left\{ Y - \frac{A}{N}[\dot{X} + (\alpha - \gamma)\dot{Y}] \right\}. \end{aligned} \quad (23)$$

**Пространственная дискретизация, метод Галеркина.** Выберем полную систему ортонормированных координатных функций, удовлетворяющих краевым условиям (21)

$$\begin{aligned} s_k(\zeta) &= \sqrt{2} \sin(k\pi\zeta), \quad k = 1, 2, 3, \dots; & (s_k, s_l) &= \int_0^1 s_k(\zeta) s_l(\zeta) d\zeta, \\ (s_j, s_j) &= 1, \quad \forall j, & (s_k, s_l) &= 0, \quad \forall k \neq l. \end{aligned} \quad (24)$$

Представим функции  $X(\tau, \zeta)$ ,  $Y(\tau, \zeta)$  аппроксимацией в виде конечных рядов

$$\begin{aligned} X(\tau, \zeta) &\approx X^n(\tau, \zeta) = \sum_1^n p_j(\tau) s_j(\zeta), \\ Y(\tau, \zeta) &\approx Y^n(\tau, \zeta) = \sum_1^n q_j(\tau) s_j(\zeta). \end{aligned} \quad (25)$$

После проведения ортогонализации в процедуре метода Галеркина для уравнений (23) получим следующую систему уравнений для каждой  $k$ -й моды отдельно<sup>1</sup> в силу ортонормированности (24)

$$\ddot{p}_k + A_{k1}\dot{p}_k + A_{k2}p_k + B_{k1}\dot{q}_k + B_{k2}q_k = 0, \quad (26)$$

$$C_{k1}\dot{p}_k + C_{k2}p_k + \ddot{q}_k + D_{k1}\dot{q}_k + D_{k2}q_k = 0,$$

где

$$\begin{aligned} A_{k1} &= \frac{CAN}{2} + 2\zeta_\xi, & A_{k2} &= (k\pi)^2, \\ B_{k1} &= (\alpha - \gamma)\frac{CAN}{2}, & B_{k2} &= (\alpha - \beta)(k\pi)^2 - \frac{CN^2}{2}, \\ C_{k1} &= d_3\frac{CAN}{2}, & C_{k2} &= (k\pi)^2 d_1, \\ D_{k1} &= (\alpha - \gamma)d_3\frac{CAN}{2} + 2\zeta_\emptyset, & D_{k2} &= (k\pi)^2 d_2 - d_3\frac{CN^2}{2}. \end{aligned} \quad (27)$$

Коэффициенты  $\zeta_\xi$ ,  $\zeta_\emptyset$  учитывают внешнее демпфирование поперечным и крутильным колебаниям.

**Расчет характеристических показателей системы (26).** Представим решение (26) в виде

$$p_k(\tau) = e^{\lambda\tau}U_k, \quad q_k(\tau) = e^{\lambda\tau}V_k. \quad (28)$$

После подстановки (28) в систему (26) получим алгебраическую задачу

$$\begin{bmatrix} \lambda^2 + A_{k1}\lambda + A_{k2} & B_{k1}\lambda + B_{k2} \\ C_{k1}\lambda + C_{k2} & \lambda^2 + D_{k1}\lambda + D_{k2} \end{bmatrix} \begin{Bmatrix} U_k \\ V_k \end{Bmatrix} = 0. \quad (29)$$

Тогда характеристическое уравнение для (29) будет полиномом четвертого порядка

$$\lambda^4 + a_1\lambda^3 + a_2\lambda^2 + a_3\lambda + a_4 = 0, \quad (30)$$

где

$$\begin{aligned} a_1 &= A_{k1} + D_{k1}, \\ a_2 &= A_{k1}D_{k1} + A_{k2} + D_{k2} - B_{k1}C_{k1}, \\ a_3 &= A_{k1}D_{k2} + A_{k2}D_{k1} - B_{k1}C_{k2} - B_{k2}C_{k1}, \\ a_4 &= A_{k2}D_{k2} - B_{k2}C_{k2}. \end{aligned} \quad (31)$$

Условия устойчивости тривиального решения (26) –  $\max(\operatorname{Re}(\lambda)) < 0$ , следуют из критерия Рауса–Гурвица

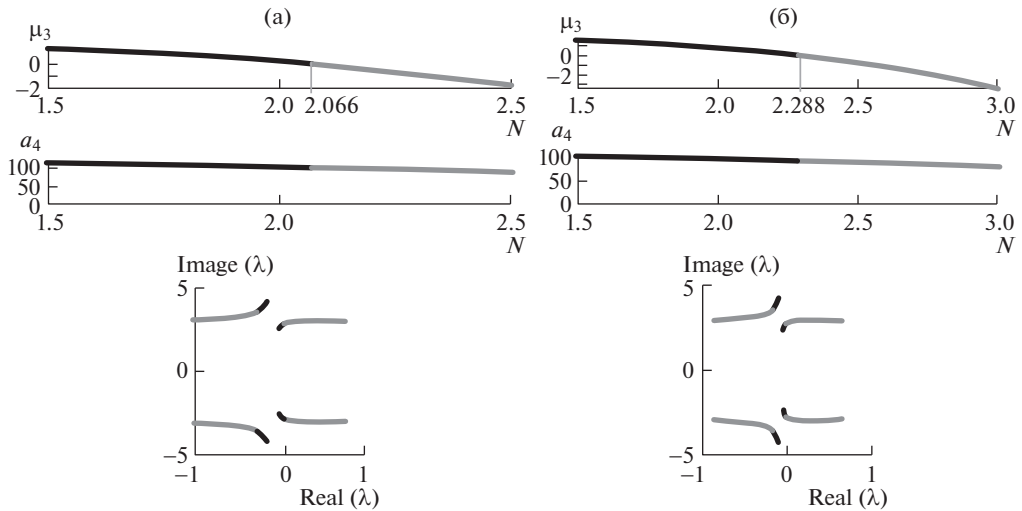
$$\begin{aligned} \mu_1 &= a_1 > 0, \\ \mu_2 &= a_1a_2 - a_3 > 0, \\ \mu_3 &= a_1a_2a_3 - a_1^2a_4 - a_3^2 > 0, \\ \mu_4 &= a_4(a_1a_2a_3 - a_1^2a_4 - a_3^2) > 0. \end{aligned} \quad (32)$$

**Анализ результатов расчета.** Расчеты проводились в программном комплексе MATLAB для первой формы колебаний ( $k = 1$ ) при следующих фиксированных значениях постоянных, входящих в выражения для коэффициентов уравнений (23):  $C = 1$ ,  $A = 0.1$ ,  $\zeta_\xi = 0.02$ ,  $\zeta_\emptyset = 0.05$ .

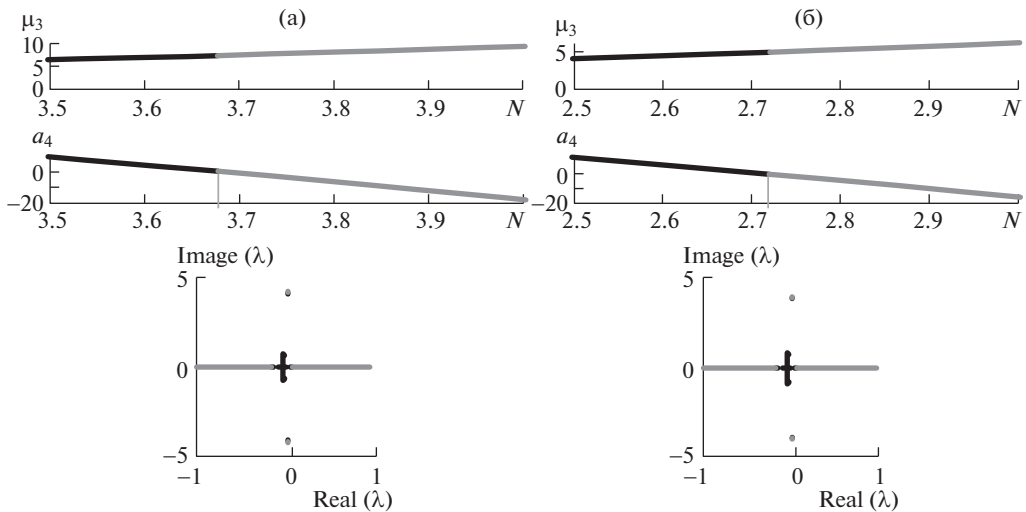
При этом варьировалась скорость набегающего потока  $N$ , как управляющего параметра, для различных комбинаций параметров  $\alpha$ ,  $\beta$ ,  $\gamma$ . Некоторые результаты расче-

<sup>1</sup> Это условие неверно в случае учета внутреннего трения в каждой струне. Внешнее демпфирование сохраняет условие сепарабельности мод.

тов, иллюстрирующие характер колебаний ленты (эквивалентной струны), представлены на рис. 4–7. Графическое представление третьего минора Гурвица  $\mu_3(N)$  из условий устойчивости (32) при его обращении в ноль ( $\mu_3 = 0 \Rightarrow N_{\text{crit}}$ ) позволяет зафиксировать бифуркацию Пуанкаре–Андронова–Хопфа, т.е. появление флаттера струны в потоке воздуха (рис. 4) [8, 20]. На рис. 4 для сравнения представлены два варианта расчета при  $\gamma = 0.25$ : (а) – при  $\alpha = 0.75, \beta = 0.5$  и (б) – при  $\alpha = 0.7, \beta = 0.4$ . В первом



**Рис. 4.** Бифуркация Пуанкаре–Андронова–Хопфа и диаграммы Аргана: (а) – при  $\alpha = 0.75; \beta = 0.5; \gamma = 0.25$ ; (б) – при  $\alpha = 0.7; \beta = 0.4; \gamma = 0.25$ .



**Рис. 5.** Бифуркации Эйлера и диаграмма Аргана: (а) – при  $\alpha = 0.4; \beta = 0.6; \gamma = 0.25$ ; (б) – при  $\alpha = 0.5; \beta = 0.75; \gamma = 0.25$ .

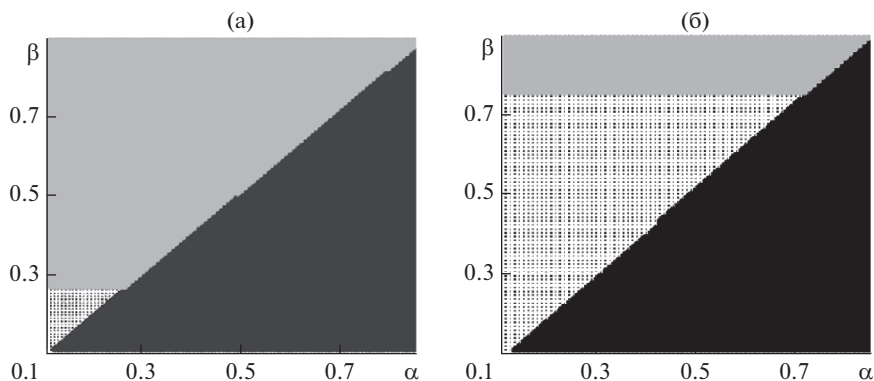


Рис. 6. Области возникновения дивергенции и флаттера на плоскости  $\alpha\beta$ : (а) – при  $\gamma = 0.25$ ; (б) – при  $\gamma = 0.75$ .

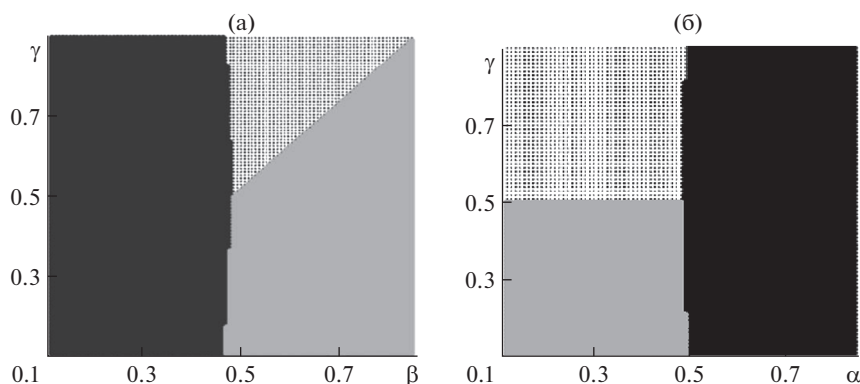


Рис. 7. Области возникновения дивергенции и флаттера: (а) – на плоскости  $\beta\gamma$  при  $\alpha = 0.5$ ; (б) – на плоскости  $\alpha\gamma$  при  $\beta = 0.5$ .

случае критическая скорость воздушного потока  $N_{\text{crit}} = 2.066$ ; во втором –  $N_{\text{crit}} = 2.288$ . Траектории корней характеристического уравнения (30)  $\lambda_j(N)$ ,  $j = \overline{1, 4}$  (диаграмма Аргана) наглядно иллюстрируют характер бифуркации – серые линии соответствуют скорости потока  $N$ , при которой  $\max(\text{Re}(\lambda_j)) > 0$ ,  $j = \overline{1, 4}$ .

Построение коэффициента  $a_4(N)$  по выражению (31) при его обращении в ноль ( $a_4 = 0 \Rightarrow N_{\text{crit}}$ ), позволяет локализовать бифуркацию Эйлера, соответствующую дивергенции эквивалентной струны в потоке воздуха (рис. 5). Серые линии на диаграмме Аргана соответствуют скорости потока  $N$ , при которой  $\max(\text{Re}(\lambda_j)) > 0$  для любого  $j$ .

Частота колебаний ленты (эквивалентной струны)  $\omega_{\text{crit}}$  и скорость потока воздуха  $U_{\text{crit}}$  при достижении критического состояния (рис. 4) определяются из (14), (15)

$$\omega_{\text{crit}} = \frac{\text{Imag}(\lambda_{\text{crit}})}{l} \sqrt{\frac{T}{m}}, \quad U_{\text{crit}} = \frac{N_{\text{crit}}}{l} \sqrt{\frac{T}{\rho}}. \quad (33)$$

На рис. 6, 7 показаны области возникновения дивергенции (серый цвет) и флаттера (черный цвет) в зависимости от выбранной плоскости параметров. На рис. 6 – на

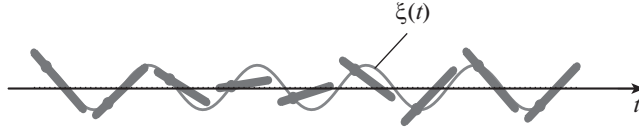


Рис. 8. Характерные положения поперечного сечения ленты.

плоскости  $\alpha\beta$  при  $\gamma = 0.25$  (рис. 6а) и при  $\gamma = 0.75$  (рис. 6б), а на рис. 7 – на плоскости  $\beta\gamma$  при  $\alpha = 0.5$  (рис. 7а) и на плоскости  $\alpha\gamma$  при  $\beta = 0.5$  (рис. 7б). Области, заполненные точками, на всех рисунках соответствуют параметрам, при которых не возникает неустойчивости струны (ленты).

На рис. 6, 7 показано, что область дивергенции уменьшается с повышением аэродинамического качества.

**Закритическое поведение ленты.** Поведение ленты в закритической области (при скоростях потока воздуха выше критической) требует учета нелинейных аэродинамических сил (15). При этом метод Галеркина должен применяться к системе (17) в виде

$$\xi(\tau, \zeta) \approx \xi^n(\tau, \zeta) = \sum_1^n p_j(\tau) s_j(\zeta); \quad \vartheta(\tau, \zeta) \approx \vartheta^n(\tau, \zeta) = \sum_1^n q_j(\tau) s_j(\zeta). \quad (34)$$

Ограничимся случаем  $n = 1$ . Получим два уравнения, аналогичных (26) с добавлением влияния нелинейных сил. Тогда после ортогонализации в процедуре метода Галеркина вместо (26), получим

$$\begin{aligned} \ddot{p}_1 + A_{11}\dot{p}_1 + A_{12}p_1 + B_{11}\dot{q}_1 + B_{12}q_1 - \Psi^{(1)}(p_1, q_1) &= 0, \\ C_{11}\dot{p}_1 + C_{12}p_1 + \ddot{q}_1 + D_{11}\dot{q}_1 + D_{12}q_1 - d_3\Psi^{(1)}(p_1, q_1) &= 0, \end{aligned} \quad (35)$$

где

$$\Psi^{(1)}(p_1, q_1) = -\varepsilon \frac{CAN}{8} [\dot{p}_1 + (\alpha - \gamma)\dot{q}_1]^3. \quad (36)$$

На рис. 8 показаны положения поперечного сечения ленты (эквивалентной струны) при  $\zeta = 0.5$  (среднее сечение ленты), которое оно принимает в различные моменты времени в установившемся режиме после бифуркации Пуанкаре–Андропова–Хопфа при  $N = 1.05N_{crit}$  ( $N_{crit} = 2.066$ ). Расчет проводился по уравнениям (35) при  $\alpha = 0.75, \beta = 0.5, \gamma = 0.25$ .

**Заключение.** В статье предложена модель растянутой ленты, находящейся в воздушном потоке, в виде двух струн, закрепленными по краям мембраны. В модели изгибная и крутильная жесткости ленты получены через усилия натяжения и крутящего момента, зависящего от усилия натяжения и распределения масс, а также от подъемной аэродинамической силы. Модель и сформированные уравнения описывают совместные изгибно-крутильные колебания ленты. Существенной особенностью модели является возможность учета различных асимметрий, в частности, профиля поперечного сечения ленты, способа приложения растягивающей нагрузки.

Решения дифференциальных уравнений, описывающих колебания ленты, получены в виде конечных рядов по координатным функциям с их последующей ортогонализацией в соответствии с методом Галеркина. Анализ устойчивости полученных решений позволил выявить бифуркацию Пуанкаре–Андропова–Хопфа, т.е. появление флаттера ленты в потоке воздуха, и локализовать бифуркацию Эйлера, соответствующую дивергенции ленты.

При учете нелинейных характеристик аэродинамических сил исследовано поведение ленты в закритической области.

Все расчетные формулы получены в безразмерном виде, что существенно расширяет возможности практического использования результатов работы и позволяет рассчитывать критические скорости возникновения дивергенции и флаттера ленты, а также амплитуды и частоты ее колебаний для произвольного набора численных значений параметров рассматриваемых систем.

#### ФИНАНСИРОВАНИЕ РАБОТЫ

Исследование выполнено за счет гранта Российского научного фонда № 21-19-00183, <https://rscf.ru/project/21-19-00183/>.

#### КОНФЛИКТ ИНТЕРЕСОВ

Авторы заявляют, что у них нет конфликта интересов.

#### СПИСОК ЛИТЕРАТУРЫ

1. *Фын Я.Ц.* Введение в теорию аэроупругости / Перевод с англ. А.И. Смирнова под ред. Э.И. Григолюка. М.: Государственное издательство физико-математической литературы, 1959. 523 с.
2. *Амирьянц Г.А., Зинченко М.Ч., Калабухов С.И. и др.* Аэроупругость / Под ред. П.Г. Карклэ. М.: Инновационное машиностроение, 2019. 650 с.
3. *Marchaj С.А.* Aero-Hydrodynamics of Sailing. International Marine Publishing Co, 1989. 720 p.
4. *Гришанина Т.В., Шклярчук Ф.Н.* Аэроупругость летательных аппаратов. М.: МАИ, 2020. 100 с.
5. *Тукмаков А.Л.* Нелинейные режимы колебаний упругой панели под действием периодической нагрузки // ПМТФ. 2000. Т. 41. № 1. С. 186.
6. *Томпсон Дж.М.Т.* Неустойчивость и катастрофы в науке и технике. М.: Мир, 1985. 254 с.
7. *Frayne S.M.* Generator utilizing fluid-induced oscillations. USA Patent 7573143, 2009.
8. *Bryant M., Garcia E.* Modelling and testing of a novel aeroelastic flutter energy harvester // J. Vib. Acoust, 2011. V. 133 (1). 011010.
9. *Li S., Yuan J., Lipson H.* Ambient wind energy harvesting using cross-flow fluttering // J. Appl. Phys. 2011. V. 109 (2). 026104.
10. *Tang L., Païdoussis M., Jiang J.* Cantilevered flexible plates in axial flow: energy transfer and the concept of flutter-mill // J. Sound Vib. 2009. V. 326 (1–2). P. 263–276.
11. *Doaré O., Michelin S.* Piezoelectric coupling in energy-harvesting fluttering flexible plates: linear stability analysis and conversion efficiency // J. Fluid. Struct. 2011. V. 27. P. 1357.
12. *Shelley M.J., Zhang J.* Flapping and bending bodies interacting with fluid flows // Annual Review of Fluid Mechanics. 2011. V. 43. P. 449.
13. *Tipans I., Viba J., Irbe M., Vutukuru S.K.* Analysis of Non-Stationary flow interaction with simple form objects. Agronomy Research. 2019. V. 17 (1). P. 1227.
14. *Viba J., Panovko G., Gouskov A., Irbe M.* Approximate model of flat ribbon vibrations in the wind // Book of Abstracts of the Second International Nonlinear Dynamics Conference, Rome, Sapienza University, 2021. 45 p.
15. *Афанасьева А.А., Гуськов А.М., Пановко Г.Я.* Нелинейная динамика тонкой узкой ленты в дозвуковом потоке воздуха // Проблемы машиностроения и надежности машин. 2019. № 7. С. 64.
16. *Afanaseva A., Gouskov A., Panovko G.* Nonlinear dynamics of a thin narrow ribbon in an airflow // Vibroengineering Procedia. 2020. V. 32. P. 105.

- 
17. *Гришанина Т.В., Шклярчук Ф.Н.* Аэродинамические характеристики профиля крыла с нелинейно деформируемой мембраной в дозвуковом потоке // *Механика композиционных материалов и конструкций*. 2016. Т. 22. № 4. С. 491.
  18. *Меркин Д.Р.* Введение в теорию устойчивости движения. 4-е изд., стер. СПб.: Изд-во "Лань", 2003. 304 с.
  19. *Chen L.-Q., Ding H.* Two nonlinear models of a transversely vibrating string // *Archive of Applied Mechanics*. 2008. V. 78. P. 321.
  20. *Бахвалов Н.С.* Численные методы. СПб.: Невский диалект, 2002. 230 с.